

SCHRIFTLICHE PRÜFUNG zur
VU Modellbildung
am 12.09.2025

Arbeitszeit: 150 min

Name:
Vorname(n):
Matrikelnummer:

Note:

Aufgabe	1	2	3	BP	Σ
erreichbare Punkte	15	15	10	5	40
erreichte Punkte					

Bitte ...

- ... tragen Sie Name, Vorname und Matrikelnummer auf dem Deckblatt ein,
- ... rechnen Sie die Aufgaben auf separaten Blättern, **nicht** auf dem Angabebrett,
- ... beginnen Sie für eine neue Aufgabe immer auch eine neue Seite,
- ... geben Sie auf jedem Blatt den Namen sowie die Matrikelnummer an und
- ... begründen Sie Ihre Antworten ausführlich.

Viel Erfolg!

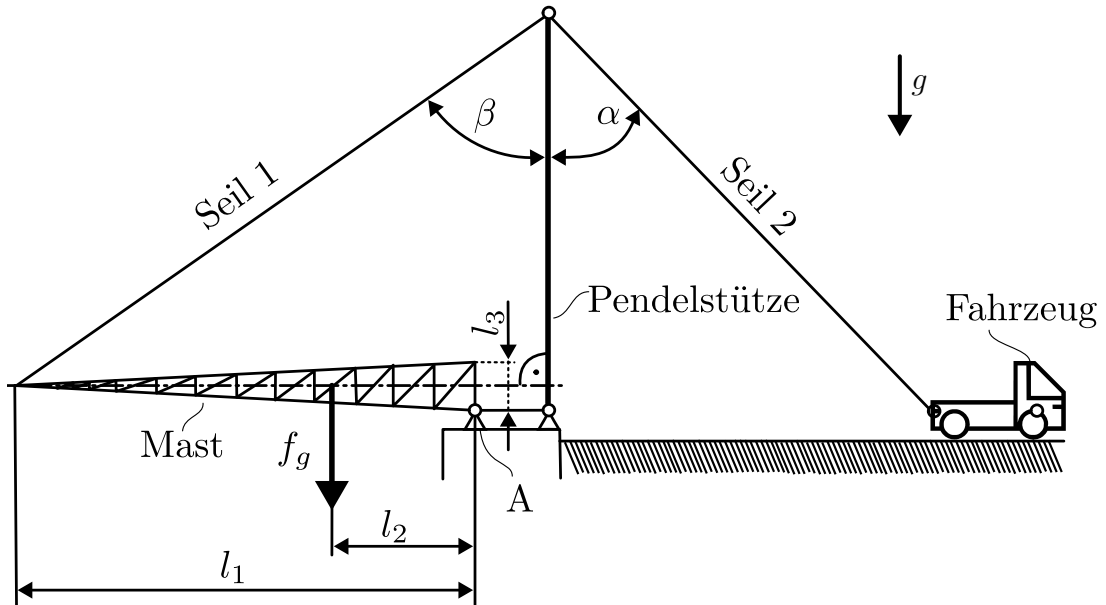


Abbildung 1: Aufrichten eines Gittermasts mit Pendelstütze.

1. Der waagerecht liegende Gittermast in Abbildung 1 hat die Höhe l_1 und die Gewichtskraft f_g , die im Abstand l_2 vom Lager A wirkt. Zum Aufrichten werden zwei Seile am Kopf einer Pendelstütze befestigt. Seil 1 wird an der Mastspitze, Seil 2 am Zughaken eines Fahrzeugs eingehängt, das den Mast dann aufrichtet. Der Abstand l_3 und der Winkel β sind gegeben.

Gesucht werden für die gezeichnete waagerechte Stellung der Mastachse:

- a) die Schnittskizze für das Lager A und die Mastspitze, 2 P. |
- b) die Zugkraft f_1 im Seil 1, 2 P. |
- c) die Komponenten $f_{A,x}$ und $f_{A,y}$ sowie die gesamte Belastung f_A , 2.5 P. |
- d) den Winkel α zwischen Seil 2 und der Pendelstütze, wenn im Seil 2 die Zugkraft f_2 betragen soll, 2 P. |
- e) die dann in der rechtwinklig zur Mastachse stehenden Pendelstütze auftretende Druckkraft f_3 , 2 P. |
- f) das minimale Fahrzeuggewicht, damit das Fahrzeug nicht angehoben wird, 1.5 P. |
- g) die Berechnung des Schwerpunkts des vereinfachten Gittermasts mit Dichte ρ aus Abbildung 2 (Dreiecksprisma mit Tiefe l_4). 3 P. |

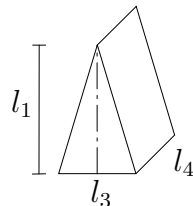


Abbildung 2: Vereinfachter Gittermast.

Lösung:

a) Freischnitt Skizze:

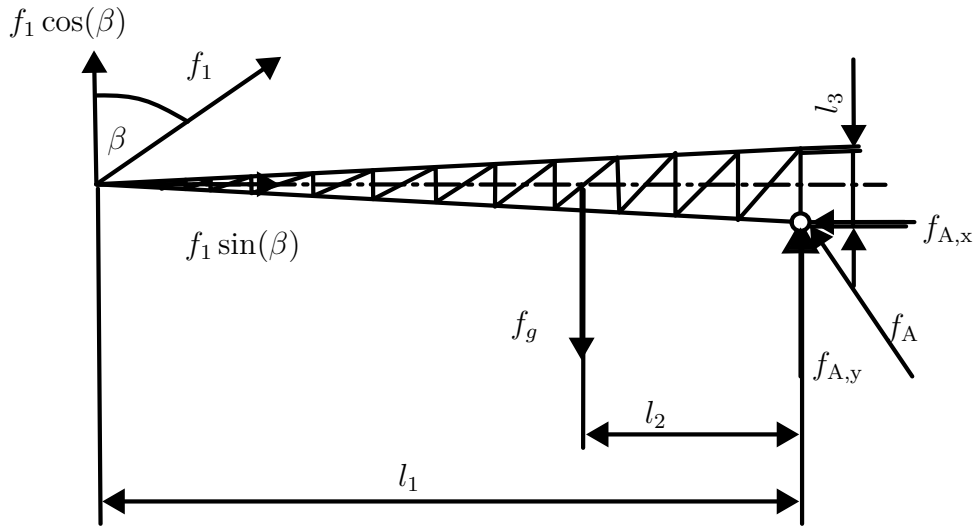


Abbildung 3: Freischnitt.

$$b) \Sigma f_x : f_1 \sin(\beta) - f_{A,x} = 0$$

$$\Sigma f_y : f_1 \cos(\beta) - f_{A,y} - f_g = 0$$

$$\Sigma \tau : f_1 \cos(\beta) l_1 + f_1 \sin(\beta) \frac{l_3}{2} - f_g l_2 = 0$$

$$f_1 = \frac{f_g l_2}{\cos(\beta) l_1 + \sin(\beta) \frac{l_3}{2}}$$

$$c) f_A = \sqrt{f_{A,x}^2 + f_{A,y}^2} = \sqrt{f_1^2 + f_g^2 - 2 f_1 f_g \cos(\beta)}$$

$$d) \Sigma f_x : -f_1 \sin(\beta) + f_2 \sin(\alpha) = 0$$

$$\alpha = \arcsin\left(\frac{f_1}{f_2} \sin(\beta)\right)$$

$$e) f_3 = f_1 \cos(\beta) + f_2 \cos(\alpha)$$

$$f) m_F \geq \frac{f_2}{g} \cos(\alpha)$$

g) Dreiecksprisma:

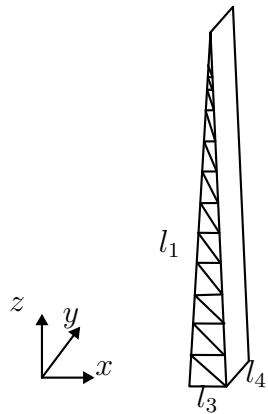


Abbildung 4: Dreiecksprisma.

$$x_s = \frac{l_3}{2}$$

$$y_s = \frac{l_4}{2}$$

$$z_s = \frac{l_1}{3}$$

2. In Abbildung 5 ist ein Roboter mit den Freiheitsgraden $\mathbf{q} = [q_1, q_2, q_3, q_4]^T$ dargestellt. Das Koordinatensystem 3 dreht sich mit dem Gelenk q_3 . Das Koordinatensystem 4 dreht sich mit dem Gelenk q_4 . Im Körper 3 liegt eine Masse m_3 in $\mathbf{p}_3^{m_3} = [0, 0, h_3]$ mit der Trägheitsmatrix $\mathbf{I}_3 = \text{diag}([I_{3,xx}, I_{3,yy}, I_{3,zz}])$. Im Körper 4 liegt eine Punktmasse m_e in $\mathbf{p}_4^{m_e} = [0, h_4, 0]$. Gelenke und übrige Glieder werden – sofern nicht explizit genannt – als masselos betrachtet. Die Feder mit Federsteifigkeit c ist zwischen den Punkten O_0 und O_2 entlang der in der Abbildung skizzierten Verbindung. Ihre entspannte Länge sei 0. Die Schwerkraft wirkt in Richtung $\mathbf{e}_0^g = [0, 0, -1]^T$ mit Betrag g .

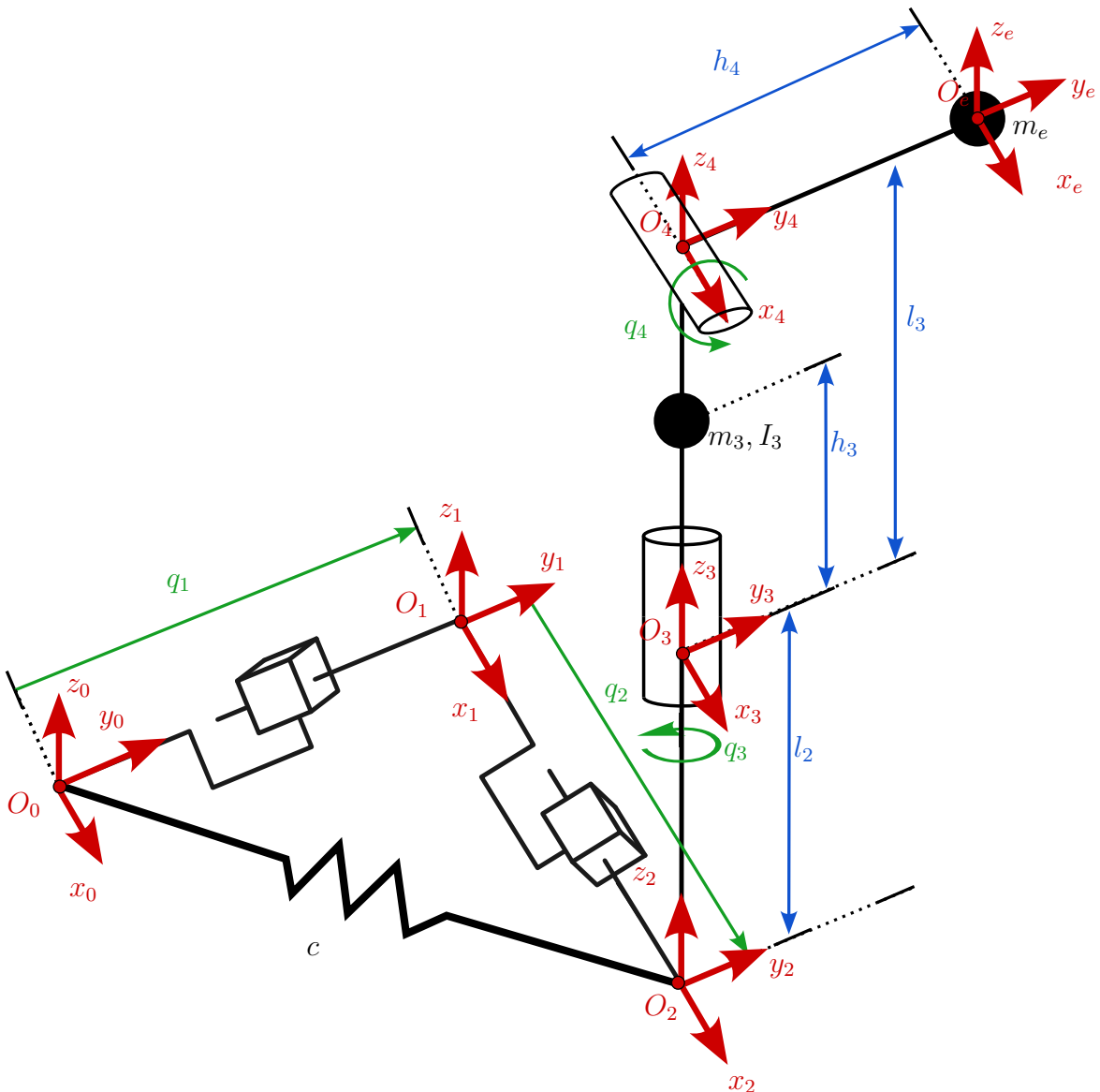


Abbildung 5: Schematische Darstellung des Roboters.

- Bestimmen Sie die homogenen Transformationen $\mathbf{H}_0^1, \mathbf{H}_1^2, \mathbf{H}_2^3, \mathbf{H}_3^4, \mathbf{H}_4^e$ sowie \mathbf{H}_0^e für den Roboterarm. 4 P. |
- Berechnen Sie die Ortsvektoren der Schwerpunkte $\mathbf{p}_0^{m_3}$ und $\mathbf{p}_0^{m_e}$ im Inertialsystem. 1 P. |
- Geben Sie die zugehörigen Manipulator-Jacobi-Matrizen $(\mathbf{J}_v)_0^{m_3}, (\mathbf{J}_v)_0^{m_e}, (\mathbf{J}_\omega)_0^{m_3}$ und $(\mathbf{J}_\omega)_0^{m_e}$ der Schwerpunkte an. 4 P. |

- d) Berechnen Sie die Massenmatrix $\mathbf{M}(\mathbf{q})$ des Systems. 2 P. |
- e) Geben Sie die potentielle Energie $V_g(\mathbf{q})$ zufolge der Gravitation an. 2 P. |
- f) Geben Sie die potentielle Energie $V_f(\mathbf{q})$ zufolge der Feder an. 1 P. |
- g) Berechnen Sie den Vektor der Potentialkräfte $\mathbf{g}(\mathbf{q})$ an. 1 P. |

Lösung:

a)

$$\mathbf{H}_0^1 = \begin{bmatrix} 1 & 0 & 0 & 0 \\ 0 & 1 & 0 & q_1 \\ 0 & 0 & 1 & 0 \\ 0 & 0 & 0 & 1 \end{bmatrix}, \quad \mathbf{H}_1^2 = \begin{bmatrix} 1 & 0 & 0 & q_2 \\ 0 & 1 & 0 & 0 \\ 0 & 0 & 1 & 0 \\ 0 & 0 & 0 & 1 \end{bmatrix}$$

$$\mathbf{H}_2^3 = \begin{bmatrix} \cos(q_3) & -\sin(q_3) & 0 & 0 \\ \sin(q_3) & \cos(q_3) & 0 & 0 \\ 0 & 0 & 1 & l_2 \\ 0 & 0 & 0 & 1 \end{bmatrix}, \quad \mathbf{H}_3^4 = \begin{bmatrix} 1 & 0 & 0 & 0 \\ 0 & \cos(q_4) & -\sin(q_4) & 0 \\ 0 & \sin(q_4) & \cos(q_4) & l_3 \\ 0 & 0 & 0 & 1 \end{bmatrix}$$

$$\mathbf{H}_4^e = \begin{bmatrix} 1 & 0 & 0 & 0 \\ 0 & 1 & 0 & h_4 \\ 0 & 0 & 1 & 0 \\ 0 & 0 & 0 & 1 \end{bmatrix}$$

$$\mathbf{H}_0^e = \begin{bmatrix} \cos(q_3) & -\sin(q_3) \cos(q_4) & \sin(q_3) \sin(q_4) & -\sin(q_3) \cos(q_4) h_4 + q_2 \\ \sin(q_3) & \cos(q_3) \cos(q_4) & -\cos(q_3) \sin(q_4) & \cos(q_3) \cos(q_4) h_4 + q_1 \\ 0 & \sin(q_4) & \cos(q_4) & \sin(q_4) h_4 + l_3 + l_2 \\ 0 & 0 & 0 & 1 \end{bmatrix}$$

b)

$$p_0^3 := \begin{bmatrix} q_2 \\ q_1 \\ h_3 + l_2 \end{bmatrix}, \quad p_0^e := \begin{bmatrix} -\sin(q_3) \cos(q_4) h_4 + q_2 \\ \cos(q_3) \cos(q_4) h_4 + q_1 \\ \sin(q_4) h_4 + l_3 + l_2 \end{bmatrix}$$

c)

$$(\mathbf{J}_v)_0^3 := \begin{bmatrix} 0 & 1 & 0 & 0 \\ 1 & 0 & 0 & 0 \\ 0 & 0 & 0 & 0 \end{bmatrix}, \quad (\mathbf{J}_v)_0^e := \begin{bmatrix} 0 & 1 & -\cos(q_3) \cos(q_4) h_4 & \sin(q_3) \sin(q_4) h_4 \\ 1 & 0 & -\sin(q_3) \cos(q_4) h_4 & -\cos(q_3) \sin(q_4) h_4 \\ 0 & 0 & 0 & \cos(q_4) h_4 \end{bmatrix}$$

$$(\mathbf{J}_\omega)_0^3 := \begin{bmatrix} 0 & 0 & 0 & 0 \\ 0 & 0 & 0 & 0 \\ 0 & 0 & 1 & 0 \end{bmatrix}, \quad (\mathbf{J}_\omega)_0^e := \begin{bmatrix} 0 & 0 & 0 & \cos(q_3) \\ 0 & 0 & 0 & \sin(q_3) \\ 0 & 0 & 1 & 0 \end{bmatrix}$$

d)

$$\mathbf{M}(\mathbf{q}) = \begin{bmatrix} m_3 + m_e & 0 & -m_e \sin(q_3) \cos(q_4) h_4 & -m_e \cos(q_3) \sin(q_4) h_4 \\ 0 & m_3 + m_e & -m_e \cos(q_3) \cos(q_4) h_4 & m_e \sin(q_3) \sin(q_4) h_4 \\ -m_e \sin(q_3) \cos(q_4) h_4 & -m_e \cos(q_3) \cos(q_4) h_4 & m_e \cos^2(q_4) h_4^2 + I_{3,zz} & 0 \\ -m_e \cos(q_3) \sin(q_4) h_4 & m_e \sin(q_3) \sin(q_4) h_4 & 0 & m_e h_4^2 \end{bmatrix}$$

e) $V_g(\mathbf{q}) = m_3 g(h_3 + l_2) + m_e g(\sin q_4 h_4 + l_3 + l_2)$

f) $V_f(\mathbf{q}) = \frac{c}{2}(q_1^2 + q_2^2)$

g)

$$\mathbf{g}(\mathbf{q}) = \begin{bmatrix} c q_1 \\ c q_2 \\ 0 \\ m_e g \cos(q_4) h_4 \end{bmatrix}$$

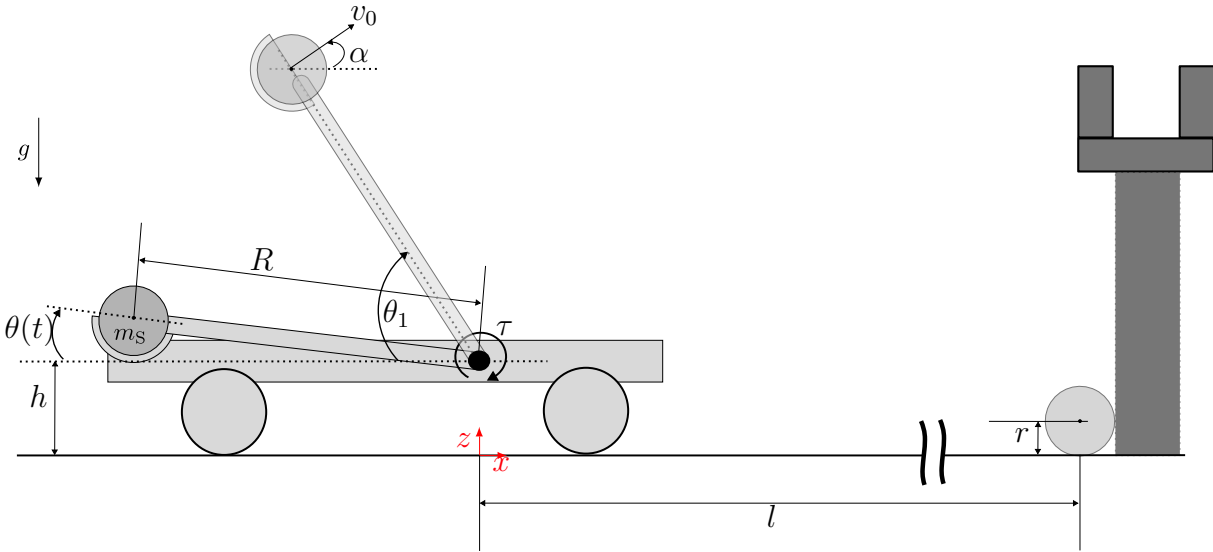


Abbildung 6: Schematische Darstellung des Katapults.

10 P. |

3. Das in Abbildung 6 dargestellte Katapult besteht aus einem starren, masselosen Arm der Länge R , der um einen Fixpunkt mit den Koordinaten $x = 0$ und $z = h$ drehbar gelagert ist. Am Ende des Arms befindet sich ein Stein der Masse m_s , **der als Punktmasse betrachtet wird**. Die Position des Arms wird durch den Winkel $\theta(t)$ beschrieben. Ein Drehmoment $\tau(t)$ sowie eine Coulomb-Reibung mit der Konstante τ_r wirkt am Fixpunkt auf den Arm. Während $0 < t < T$ und mit dem Startwinkel $\theta(0) = \theta_0$ und der Startgeschwindigkeit $\dot{\theta}(0) = 0$ wird das Katapult aktiviert und der Arm angehoben. Während der Aktivierung bleibt der Stein am Ende des Arms. Zum Zeitpunkt $t = T$ bei $\theta(T) = \theta_1$ wird der Stein abgeschleudert.

Hinweis: Die Unterpunkte a), b) und c) können unabhängig voneinander gelöst werden.

- a) Bestimmen Sie die Bewegungsgleichung für $\ddot{\theta}(t)$ bei Aktivierung des Katapults (d. h. $0 < t < T$). 2 P. |
- b) Zum Zeitpunkt $t = T$ verlässt der Stein den Arm mit der Geschwindigkeit v_0 unter dem Abwurfwinkel α (gemessen zur x -Achse). Geben Sie α und v_0 in Abhängigkeit von R , θ_1 , θ_0 , τ , τ_r , g und m_s an, wenn $\tau(t) = \tau_0 > 0$ konstant ist und $\dot{\theta}(t) \geq 0$ während $0 \leq t \leq T$. 4 P. |
- c) Wie in der Abbildung angedeutet, soll der Stein nach dem Abwurf das Ziel mit den Koordinaten $x = l$ und $z = r$ treffen. Bestimmen Sie v_0 in Abhängigkeit von α , θ_1 , r , l , R , h und g um dieses Ziel zu erreichen. 4 P. |

Lösung:

a) $m_s R^2 \ddot{\theta} = \tau - \tau_r \operatorname{sgn}(\dot{\theta}) - m_s g \cos \theta$

b) *Energieansatz:*

$$E_c(0) + E_p(0) - E_f + E_\tau = E_c(T) + E_p(T)$$

mit

$$E_c(0) = 0, \quad E_c(T) = \frac{1}{2} m_s v_0^2,$$

$$E_p(0) = m_s g R \sin \theta_0, \quad E_p(T) = m_s g R \sin \theta_1,$$

$$E_\tau = \tau (\theta_1 - \theta_0), \quad E_f = \tau_r (\theta_1 - \theta_0).$$

Damit

$$\frac{1}{2} m_s v_0^2 = m_s g R (\sin \theta_0 - \sin \theta_1) + (\tau - \tau_r) (\theta_1 - \theta_0),$$

bzw.

$$v_0^2 = \frac{2}{m_s} \left[m_s g R (\sin \theta_0 - \sin \theta_1) + (\tau - \tau_r) (\theta_1 - \theta_0) \right].$$

Außerdem

$$\alpha = \frac{\pi}{2} - \theta_1.$$

c)

$$\begin{cases} x(t) = v_0 \cos \alpha t - R \cos \theta_0, \\ z(t) = -\frac{1}{2} g t^2 + v_0 \sin \alpha t + R \sin \theta_1 + h \end{cases}$$

Zum Zeitpunkt $t = T_e$:

$$\begin{cases} \ell = v_0 \cos \alpha T_e - R \cos \theta_1, \\ r = -\frac{1}{2} g T_e^2 + v_0 \sin \alpha T_e + R \sin \theta_1 + h \end{cases}$$

Aus der x -Gleichung:

$$T_e = \frac{x_{\text{ref}}}{v_0 \cos \alpha},$$

mit

$$x_{\text{ref}} = l + R \cos \theta_1,$$

und damit

$$v_0^2 = \frac{1}{2} g \frac{x_{\text{ref}}^2}{\cos^2 \alpha (\tan \alpha x_{\text{ref}} + z_{\text{ref}})},$$

mit

$$z_{\text{ref}} = h + R \sin \theta_1 - r.$$